

## ФУНКЦИОНАЛЬНАЯ МИКРО- И НАНОЭЛЕКТРОНИКА

программируемого фотошаблона в цифровой электронной литографии.

### Заключение

Проведенные исследования позволили установить область применения компактной ЕКВ-модели МОП-транзистора для расчета характеристик КНИ МОП-транзисторов. Расчетные характеристики сравнивались с экспериментальными выходными характеристиками КНИ МОП-транзистора, в котором подканальная область соединена с истоком. Разработанная схема управления кремниевым микрокатодом обеспечивает линейное регулирование автоэмиссионных токов в интервале 3 нА—3 мкА при напряжении на электродах 100 В. Спроектирована топология микрокатода, интегрированного со схемой управления, которую можно мультилизировать в матрицы больших размеров. Полученные результаты показывают, что матрицы управляемых автоэмиссионных кремниевых микрокатодов могут использоваться в качестве программируемых фотошаблонов в цифровой электронной литографии с субмикронным разрешением.

### ИСПОЛЬЗОВАННЫЕ ИСТОЧНИКИ

1. Colinge J. P. Silicon-on-insulator technology: Materials to VLSI.—Norwell (Ma, USA): Kluwer Academic Publishers, 1997.

2. Пат. 36463 України. Спосіб виготовлення локальних тривимірних структур «кремній-на-ізоляторі» / І. Т. Когут, В. І. Голота, А. О. Дружинін, С. В. Сапон.—27.10.08.

3. Пат. 29698 України. Ключовий елемент на діодах Шоттки з структурами «кремній-на-ізоляторі» / І. Т. Когут, В. І. Голота, А. О. Дружинін.—25.01.08.

4. Пат. 29701 України. Контакт в інтегральних пристроях зі структурою «кремній-на-ізоляторі» / І. Т. Когут, А. О. Дружинін, В. І. Голота.—25.01.08.

5. Druzhynin A., Holota V., Kohut I. et al. The device-technological simulation of the field-emission micro-cathodes based on three-dimensional SOI-structures // Electrochemical Society Trans.—2008.—Vol. 14, N 1.—P. 569.

6. Gildenblat G., Zhu Z., McAndrew C. C. Surface potential equation for bulk MOSFET / Solid-State Electronics.—2009.—Vol. 53, N 1.—P. 11—13.

7. Bucher M., Lallement C., Enz C. et al. The EPFL-EKV MOSFET model equations for simulation.—EPFL, Lausanne, Switzerland: Technical Report. Model Version 2.6.—1997.—P. 18.

8. Angelov G. V., Asparuhova K. K. Optimization and simulation of the EKV model using MatLab // Conf. "Electronics 2007". Book 1.—Sozopol (Bulgaria).—2007.—P. 19—21.

9. Collinge J. P., Park J. T. Application of the EKV model to the DTMOS SOI transistor // J. of semiconductor and science.—2003.—Vol. 3, N 4.—P. 223—226.

10. Дружинин А. А., Голота В. И., Когут И. Т. и др. Приборно-технологическое моделирование автоэмиссионных кремниевых микрокатодов // Технология и конструирование в электронной аппаратуре.—2008.—№ 5.—С. 43—49.

*К. ф.-м. н. Н. Б. ГОРЕВ, к. ф.-м. н. И. Ф. КОДЖЕСПИРОВА,  
к. ф.-м. н. Е. Н. ПРИВАЛОВ*

Украина, г. Днепропетровск, Институт технической механики  
E-mail: gorev5@mail.ru

Дата поступления в редакцию  
18.09.2009 г.

Оппонент д. ф.-м. н. Д. В. КОРБУТЬЯК  
(ИФП им. В. Е. Лашкарёва, г. Киев)

## ВОЛЬТ-ФАРАДНЫЕ ИЗМЕРЕНИЯ В ТОНКОПЛЕНОЧНЫХ ЭПИТАКСИАЛЬНЫХ СТРУКТУРАХ GaAs

*Предложен метод измерения вольт-фарадных характеристик полупроводниковых структур с участками круто-го падения с использованием измерительного переменного напряжения умеренно малых амплитуд.*

Вольт-фарадные методы определения параметров полупроводниковых структур просты и удобны. Однако в таком практически важном случае как тонкопленочные epitаксиальные структуры GaAs, которые широко используются в современной микроэлектронике, их применение сопряжено с трудностями. Это связано с тем, что в этих структурах на границе «пленка—подложка» имеется область встроенного объемного заряда, образование которой обусловлено резким градиентом концентрации легирующей примеси в сочетании с наличием незаполненных глубоких центров захвата в полуизолирующей компенсированной подложке [1]. Смыкание этой области с областью объемного заряда барьера Шоттки приводит к невозможности переноса на тонкопленочные epitаксиаль-

ные структуры вольт-фарадных методов, разработанных для объемных полупроводников [2, 3]. Кроме того, сложной задачей может быть и само проведение вольт-фарадных измерений, поскольку это же смыкание приводит к резкому падению барьера Шоттки [1]. Поэтому для того, чтобы измеренная барьерная емкость совпадала с фактической, амплитуда переменного напряжения, прикладываемого к барьери Шоттки для измерения емкости, должна быть весьма малой. Измерения же на таких малых амплитудах могут быть затруднены, в частности, вследствие шума.

В данной работе предлагается метод, позволяющий измерять вольт-фарадные характеристики с участками круто-го падения при помощи переменного напряжения умеренно малых амплитуд (порядка 100 мВ), на которых работают стандартные измерители емкости.

Общепринятая процедура измерения зависимости барьерной емкости  $C$  от величины постоянного напряжения  $V_{DC}$  на барьере Шоттки заключается в следующем: к барьери прикладывается малое перемен-

## ФУНКЦИОНАЛЬНАЯ МИКРО- И НАНОЭЛЕКТРОНИКА

ное напряжение  $\tilde{V} = V_{AC} \sin \omega t$ , где  $V_{AC}$  и  $\omega$  — амплитуда и круговая частота переменного напряжения,  $t$  — время; измеряется амплитуда  $I_{AC}$  переменного тока  $\tilde{I}$  через барьерную емкость (тока смещения), и соответствующая постоянному напряжению  $V_{DC}$  барьерная емкость находится по формуле

$$C = \frac{1}{\omega} \frac{I_{AC}}{V_{AC}}. \quad (1)$$

Однако формула (1) дает фактическую емкость только в случае, когда ток  $\tilde{I}$  также является синусоидальным. Если же это не так, то емкость, вычисленная по формуле (1), отличается от фактической. Действительно, в общем случае связь между током смещения и барьерной емкостью определяется выражением, которое легко получить из определения барьерной емкости как производной заряда барьера Шоттки по напряжению:

$$\tilde{I} = C(V) \frac{dV}{dt}, \quad (2)$$

где  $V$  — мгновенное значение напряжения на барьере Шоттки;  $C(V)$  — соответствующее этому напряжению мгновенное значение барьерной емкости.

Разлагая  $C(V) = C(V_{DC} + V_{AC} \sin \omega t)$  в ряд по степеням  $V_{AC}$ , выражение для тока смещения (2) можно представить в следующем виде:

$$\begin{aligned} \tilde{I} = & \omega V_{AC} \left[ C(V_{DC}) + \frac{1}{8} C''(V_{DC}) V_{AC}^2 \right] \cos \omega t + \\ & + \frac{1}{2} \omega C'(V_{DC}) V_{AC}^2 \sin 2\omega t - \\ & - \frac{1}{8} \omega C''(V_{DC}) V_{AC}^3 \cos 3\omega t + O(V_{AC}^4), \end{aligned} \quad (3)$$

где штрихи обозначают дифференцирование.

Отсюда видно, что в общем случае ток  $\tilde{I}$  не является гармоническим. Как правило, измерительная цепь выделяет только первую гармонику тока  $\tilde{I}$ , и поэтому входящая в формулу (1) амплитуда  $I_{AC}$  представляет собой амплитуду первой гармоники  $I_1$ . Из (3) следует, что с точностью до величины  $O(V_{AC}^4)$  она равна

$$I_1 = \omega V_{AC} \left[ C(V_{DC}) + \frac{1}{8} C''(V_{DC}) V_{AC}^2 \right],$$

и поэтому формула (1) определяет кажущуюся емкость  $C_{ap}$ , которая связана с фактической емкостью  $C(V_{DC})$ , следующим образом:

$$C_{ap} = C(V_{DC}) + \frac{1}{8} C''(V_{DC}) V_{AC}^2. \quad (4)$$

Очевидно, для того чтобы кажущаяся емкость  $C_{ap}$  была близка к фактической емкости  $C(V_{DC})$ , амплитуда напряжения  $V_{AC}$  должна удовлетворять условию

$V_{AC}^2 \ll C(V_{DC}) / |C''(V_{DC})|$ . Однако из выражения (4) следует, что емкость  $C(V_{DC})$  может быть определена

другим способом, при котором выполнения приведенного условия не требуется. Действительно, можно измерить емкость  $C_{ap}$  при двух амплитудах —  $V_{AC1}$  и  $V_{AC2}$  — и затем найти  $C(V_{DC})$  из полученной при подстановке этих данных в (4) системы двух уравнений, т. е.

$$C(V_{DC}) = C_{ap}(V_{AC1}) + \frac{C_{ap}(V_{AC1}) - C_{ap}(V_{AC2})}{(V_{AC2}/V_{AC1})^2 - 1}. \quad (5)$$

В некоторых случаях для определения параметров полупроводниковых структур и приборов на их основе используется вольт-фарадная характеристика с точкой перегиба (например, для определения концентрации незаполненных глубоких центров вблизи границы «пленка—подложка» [4], прогнозирования напряжения отсечки полевого транзистора [5], определения параметров полупроводниковых детекторов гамма-излучения [6]). Поскольку в точке перегиба вторая производная обращается в ноль, из (4) следует, что эту точку можно найти как точку пересечения кривых кажущейся емкости, измеренных при различных значениях амплитуды  $V_{AC}$ . Такой метод определения точки перегиба не требует двойного численного дифференцирования измеренной вольт-фарадной зависимости, которое может давать значительные погрешности.

Для проверки возможности определения фактической емкости описанным выше методом рассчитаем зависимость кажущейся емкости эпитаксиальной структуры GaAs от амплитуды переменного напряжения  $V_{AC}$ , найдем из этой зависимости фактическую емкость как предельное значение кажущейся емкости при уменьшении  $V_{AC}$  и сравним ее с емкостью, рассчитанной по формуле (5).

Из (1) и (2) вытекает, что кажущуюся емкость можно представить в виде

$$C_{ap}(V_{DC}) = \epsilon \epsilon_0 S \frac{E_{b1}}{V_{AC}},$$

где  $\epsilon$  — относительная диэлектрическая проницаемость полупроводника;

$\epsilon_0$  — диэлектрическая постоянная;

$S$  — площадь барьерного контакта;

$E_{b1}$  — амплитуда первой гармоники переменной составляющей  $\tilde{E}_b$  электрического поля  $E_b$  на границе «металл—полупроводник» при приложенном к барьеру Шоттки напряжении  $V = V_{DC} + V_{AC} \sin \omega t$ .

Таким образом, для расчета кажущейся емкости надо знать зависимость  $E_b(V)$ . Поскольку эпитаксиальные структуры GaAs содержат глубокие центры захвата в полуизолирующей подложке, зависимость  $E_b(V)$  будет разной при разных частотах переменного напряжения. В предельном случае будем считать, что частота переменного напряжения настолько высока, что глубокие центры не успевают перезаряжаться при изменении напряжения, и тогда

$$E_b(V) = E_b(V_{DC} + V_{AC} \sin \omega t)|_{n_t = n_t(V_{DC})},$$

где  $n_t$  — концентрация захваченных носителей.

Рассмотрим эпитаксиальную структуру, состоящую из низкоомной пленки толщиной  $h$  с контактом

типа барьера Шоттки и полуизолирующей компенсированной подложки бесконечной толщины. Пленка содержит только мелкие доноры с концентрацией  $N_d$ , а подложка — мелкие доноры и компенсирующие их глубокие электронные центры захвата акцепторного типа с концентрацией  $N_s$  и  $N_p$ , соответственно. Зафиксируем начало координат на границе «пленка—подложка» и направим ось ОХ перпендикулярно пленке в подложку.

Пусть к барьеру Шоттки приложено обратное напряжение  $V_{rev}$ . Распределение электрического поля  $E$  и концентрации свободных носителей  $n$  в данной структуре описывается уравнением Пуассона

$$\frac{dE}{dx} = \frac{q}{\epsilon\epsilon_0} \begin{cases} n - N_d & \text{при } x < h \\ n + n_t - N_s & \text{при } x > h \end{cases} \quad (6)$$

и уравнением непрерывности тока, которое в рамках диодной теории барьера Шоттки имеет вид

$$\frac{dn}{dx} = \frac{q}{kT} nE, \quad (7)$$

где  $x$  — координата вдоль оси ОХ;

$q$  — заряд электрона;

$k$  — постоянная Больцмана;

$T$  — абсолютная температура.

Тогда концентрация захваченных носителей определяется как

$$n_t = \begin{cases} N_t \frac{n}{n + n_1} & \text{при } V_{rev} = V_{DC}; \\ n_t(V_{DC}) & \text{при } V_{rev} = V_{DC} + V_{AC} \sin \omega t, \end{cases} \quad (8)$$

где  $n_1$  — зависящий от глубины центров параметр Шокли–Рида, который равен концентрации свободных электронов в зоне проводимости, когда энергетический уровень глубокого центра совпадает с уровнем Ферми.

Функции  $E$  и  $n$  непрерывны в точке  $x=h$ :

$$E(h-0) = E(h+0), \quad n(h-0) = n(h+0)$$

и удовлетворяют следующему граничному условию в глубине подложки:

$$E \xrightarrow[x \rightarrow \infty]{} 0 \Leftrightarrow n \xrightarrow[x \rightarrow \infty]{} n_{sub}, \quad (9)$$

где  $n_{sub}$  — концентрация свободных носителей в глубине подложки, связанная с  $N_p$ ,  $N_s$  и  $n_1$  условием электронейтральности

$$n_{sub} + N_t \frac{n_{sub}}{n_{sub} + n_1} = N_s.$$

В рамках диодной теории барьера Шоттки граничное условие на границе «металл—полупроводник» имеет вид

$$V_{rev} = \frac{kT}{q} \ln \frac{N_c}{n(0)} - \Phi_b / q, \quad (10)$$

где  $N_c$  — эффективная плотность состояний в зоне проводимости;  $\Phi_b$  — высота барьера Шоттки.

Таким образом, для получения искомой зависимости  $E_b(V_{DC} + V_{AC} \sin \omega t)$  необходимо решить краевую задачу (6), (7), (9), (10).

Представим  $E$  и  $n$  при обратном напряжении ( $V_{DC} + V_{AC} \sin \omega t$ ) в виде  $E = E_0 + \delta E$ ,  $n = n_0 + \delta n$ , где  $E_0$ ,  $n_0$  — решение системы (6), (7) при обратном напряжении  $V_{DC}$ .

С учетом (8), линеаризация уравнений (6), (7) дает

$$\frac{d}{dx} \delta E = \frac{q}{\epsilon\epsilon_0} \delta n, \quad (11)$$

$$\frac{d}{dx} \delta n = \frac{q}{kT} (n_0 \delta E + E_0 \delta n). \quad (12)$$

Линеаризованные граничные условия (9), (10) принимают вид

$$\delta E \xrightarrow[x \rightarrow \infty]{} 0 \Leftrightarrow \delta n \xrightarrow[x \rightarrow \infty]{} 0, \quad (13)$$

$$V_{AC} \sin \omega t = -\frac{kT}{q} \frac{\delta n(0)}{n_0(0)}. \quad (14)$$

Если известны  $E_0$  и  $n_0$ , то численное решение линейной краевой задачи (11)–(14) может быть получено стандартными неитерационными методами, например методом суперпозиции [7].

Найдем  $E_0$  и  $n_0$ . Как следует из (8), при  $V_{rev} = V_{DC}$  из уравнений (6), (7) можно исключить координату  $x$ , что дает

$$\frac{dE_0}{dn_0} = \frac{kT}{\epsilon\epsilon_0} \frac{n_0 + N_t n_0 / (n_0 + n_1) - N_s}{n_0 E_0}.$$

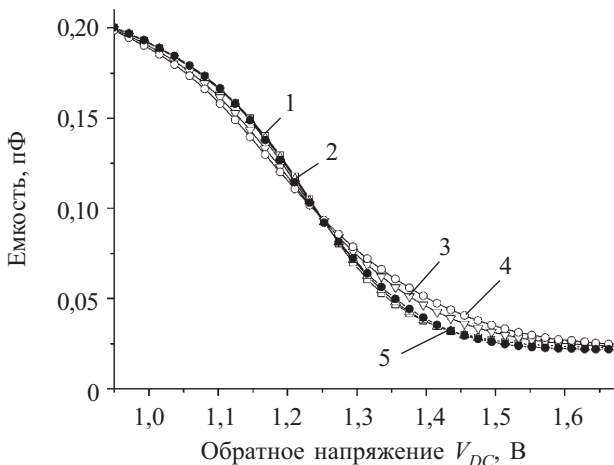
Это уравнение легко интегрируется в аналитическом виде, что позволяет выразить концентрацию свободных носителей  $n_{0j}$  и электрическое поле  $E_{0j}$  в плоскости перехода «пленка—подложка» через напряжение  $V_{DC}$  в параметрическом виде, где параметром является максимальная концентрация  $n_m$  свободных носителей в пленке [8]:

$$n_{0j} = n_m \left( \frac{n_{sub}}{n_m} \right)^{\frac{N_t - N_s}{N_d + N_t - N_s}} \left( \frac{N_t}{N_s} \right)^{\frac{N_t}{N_d + N_t - N_s}} \times \times \exp \left( -\frac{n_m}{N_d + N_t - N_s} \right);$$

$$E_{0j} = -\frac{\sqrt{2}kT}{ql_d} \left( n_{0j} - n_m + \ln \frac{n_m}{n_{0j}} \right)^{1/2};$$

$$V_{DC} = \frac{kT}{q} \left( \ln \frac{N_c}{n_m} + \frac{n_m}{N_d} + A^2 \right) - \Phi_b / q;$$

$$A = \frac{h}{\sqrt{2}l_d} + 2 \left( \ln 3 - \frac{n_m}{N_d} \right)^{1/2} -$$



Измеренная кажущаяся барьерная емкость структуры (1—4) и рассчитанная фактическая емкость (5) при различных значениях амплитуды  $V_{AC}$  (в мВ):  
1 — 20; 2 — 40; 3 — 100; 4 — 130; 5 — 100 и 130

$$-\frac{\sqrt{2}}{\sqrt{1+2p}} \ln \frac{(\sqrt{1+3p} + \sqrt{1+2p})^2}{p} - \left( \ln \frac{n_m}{n_{0j}} - \frac{n_m}{N_d} \right)^{1/2};$$

$$p = 1 - \frac{n_m}{N_d},$$

где  $l_d = \sqrt{\frac{\epsilon\epsilon_0 kT}{q^2 N_d}}$  — дебаевская длина в пленке.

Зная  $E_{0j}$  и  $n_{0j}$ , функции  $E_0(x)$  и  $n_0(x)$  можно найти с численным интегрированием уравнений (6) и (7) с начальными условиями

$$E_0(h) = E_{0j}, \quad n_0(h) = n_{0j}.$$

На рисунке представлены результаты расчета барьерающей емкости для типичной эпитаксиальной структуры GaAs ( $h=0,2$  мкм;  $S=300$  мкм $^2$ ;  $N_d=10^{17}$  см $^{-3}$ ;  $N_s=5 \cdot 10^{16}$  см $^{-3}$ ;  $N_s=5 \cdot 10^{15}$  см $^{-3}$ ;  $n_{sub}=10^9$  см $^{-3}$ ;  $\Phi_b=0,8$  эВ;  $T=300$  К). Для наглядности приведен только участок резкого падения емкости, на котором зависимость кажущейся емкости от амплитуды измерительного переменного напряжения выражена наиболее ярко.

Отметим, что все кривые пресекаются в одной точке, а именно — в точке перегиба, как и должно быть

в соответствии с формулой (4). Кривые 1 и 2 для  $V_{AC}=20$  и 40 мВ совпадают, т. е. емкость, измеренная на этих амплитудах, является фактической. Емкость же, измеренная при  $V_{AC}=100$  и 130 мВ, заметно отличается от фактической (кривые 3 и 4). Емкость, найденная для  $V_{AC}=100$  и 130 мВ по формуле (5) (кривая 5), практически совпадает с фактической.

Таким образом, предложенный метод измерения позволяет повысить амплитуду переменного напряжения, обеспечивающую измерение фактической емкости, в несколько раз по сравнению с общепринятой методикой измерения.

Вольт-фарадные характеристики эпитаксиальных структур GaAs, имеющие участки резкого падения, могут быть измерены с достаточной точностью с применением обычно используемых амплитуд измерительного переменного напряжения (порядка 100 мВ) за счет проведения измерений на двух различных амплитудах.

#### ИСПОЛЬЗОВАННЫЕ ИСТОЧНИКИ

1. Костылев С. А., Прохоров Е. Ф., Уколов А. Т. Явления токопереноса в тонкопленочных арсенид-галлиевых структурах.— Киев: Наукова думка, 1990.

2. Lehovec K. C-V analysis of a partially depleted semiconducting channel // Applied Physics Letters.— 1975.— Vol. 26, N 3.— P. 82—84.

3. Хучуа Н. П., Хведелидзе Л. В., Тигишвили М. Г. и др. Роль глубоких уровней в технологии арсенида галлия // Микроэлектроника.— 2003.— Т. 32, № 5.— С. 323—343.

4. Gorev N. B., Kodzhespirova I. F., Privalov E. N. et al. Non-destructive deep trap diagnostics of epitaxial structures // Solid-State Electronics.— 2003.— Vol. 47, N 9.— P. 1569—1575.

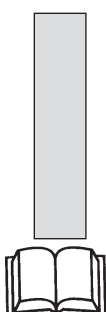
5. Горев Н. Б., Коджеспиррова И. Ф., Привалов Е. Н. Прогнозирование напряжения отсечки ионно-имплантированных полевых транзисторов с барьером Шоттки на GaAs // Технология и конструирование в электронной аппаратуре.— 2007.— № 6.— С. 3—5.

6. Bochek G. L., Kulibaba V. I., Maslov N. I. et al. Silicon pad detectors for a simple tracking system and multiplicity detectors creation // Problems of Atomic Science and Technology.— 2001.— N 1.— P. 36—39.

7. На Ц. Вычислительные методы решения прикладных граничных задач.— М.: Мир, 1982.

8. Gorev N. B., Kodzhespirova I. F., Privalov E. N. et al. Photo-capacitance of GaAs thin-film structures fabricated on a semi-insulating compensated substrate // International Journal of High Speed Electronics and Systems.— 2004.— Vol. 14, N 3.— P. 775—784.

#### НОВЫЕ КНИГИ



Нефедов Е. И. Устройства СВЧ и антенны.— М.: Академия, 2009.— 384 с.

В учебном пособии изложены основы функционирования устройств СВЧ и антенн, описаны аналитические и численные методы их расчета и проектирования. Главное внимание уделено физическим принципам работы устройств и протекающих в них процессов. Рассмотрены типовые линии передачи, базовые элементы и функциональные узлы антенно-волноводных систем, их физические, математические и электрические модели.

Для студентов учреждений высшего профессионального образования.